www.scichina.com

tech.scichina.com



基于信息等量压缩的单星星光-惯性制导原理研究

张洪波*,郑伟,吴杰,汤国建

国防科技大学航天与材料工程学院,长沙 410073

* E-mail: mailto:laugh_talking@163.com

收稿日期: 2008-07-29; 接受日期: 2008-10-15 "十一五"国防预研基金(批准号: 51309060402)

摘要 星光-惯性制导是一种复合制导体制,它能有效地提高弹道导弹的命中精度.首先建立了单星平台星光制导的测量模型与修正模型,提出了信息等量压缩的概念,研究了其基本原理.在此基础上,阐明了单星方案能够与双星方案达到同样精度的原理,为快速确定单星最佳测星方位提供了理论依据.最后分析了导航星偏离最佳星方位时的制导误差,并提出了一种补偿方法.

关键词

星光制导 信息等量压缩 单星方案 最佳测星方位

星光-惯性制导是弹道导弹的一种复合制导方式, 它以惯性制导为主,并通过测量选定的恒星矢量(参 考矢量)获得平台坐标系相对于导航坐标系(发射惯性 系)的失准角信息, 进而能够在末修段对导弹的落点 偏差加以综合修正,有效地提高导弹的命中精度... 可见, 星光-惯性制导的实质是通过矢量观测确定飞 行器姿态的问题,这个问题最早是由Wahba^[2]在 20世 纪60年代提出的, 国外经过多年的发展, 产生了各种 基于矢量观测求解三轴姿态的算法. 这些算法总体 上可以分为两类:一类是确定性算法,如QUEST法、 TRIAD法等, 这类算法需要同时观测2个或多个矢量 以直接确定飞行器的姿态[3.4];另一类算法是基于状 态最优估计的方法, 最常用的就是扩展Kalman滤波 法(EKF), 近年来又发展起各种新型的滤波方法, 主 要是解决滤波模型的非线性与模型误差的不确定问 题,这类方法一般要观测2个矢量,通过长时间观测 单个矢量也可以使滤波收敛[5.6]. 国内近年来也逐渐 开展起基于矢量观测确定飞行器姿态方面的研究, 研究的重点是多传感器信息融合定姿的滤波算法、基 于观测矢量的惯导工具误差辨识等[7.8]. 这些问题的 研究为星光-惯性复合制导方法的研究提供了有益的参考.

美国在20世纪60年代开始研究将矢量观测用于潜射导弹的制导问题,并成功应用于三叉戟I,II型导弹上;前苏联在20世纪70年代开展了相关研究,并将相关技术应用于SS-N-8, SS-N-18等潜射导弹上.结果表明,星光-惯性复合制导能够显著提高导弹的命中精度¹⁹.星光-惯性制导分为单矢量观测与双矢量观测2种方案,即单星方案与双星方案,从理论上讲,单星方案能够与双星方案达到同样的精度.根据星敏感器的安装方式不同,又可以分为捷联方案与平台方案,目前只有单星平台方案得到了实际应用.近年来,随着捷联惯导的迅速发展,捷联惯导+星光修正的制导方案是未来发展的方向.

我国从 20 世纪 80 年代起开始对星光-惯性制导方案的原理与实现进行跟踪研究,得到了一些有益的结果,研究的内容主要集中在单星方案[1,10,11].单星方案需要测量最佳方位的星体才能达到与双星方案同样的精度,由于目前我国对单星方案实现原理的研究还不是很透彻,因此只能采用纯数值计算选

星的方法,这增加了导弹的射前准备时间,限制了星光制导的广泛应用.

从原理上讲,基于测量信息进行参数确定是参数信息的传递与校验的过程.因此本文从信息传递的角度出发,基于信息等量压缩的观点,阐明了单星方案可与双星方案达到同样精度的原理,提出了最佳测星方位应当满足的条件;对导航星偏离最佳星时对落点精度的影响进行了分析,提出了一种补偿方法.

1 单星星光制导的数学模型

在导弹的实际飞行过程中,平台坐标系相对于 发射惯性坐标系的失准角是由初始定位定向误差、惯 性平台的初始对准误差及漂移误差等多种因素引起 的,通过对单个星体的观测无法将它们的影响剥离 开来,只能根据观测信息进行综合修正.在平台方案 中,由于平台结构的限制,星敏感器只能以某一固定 的角度安装在平台上,发射前确定导航星后,通过斜 调平台使星敏感器对准导航星的方向.为便于阐明 问题,本文假定影响平台失准角的只有初始定位定 向误差,同时假定星敏感器在平台上可以任意方位 安装,不必斜调平台就能够使星敏感器的光轴对准 选定的导航星.

1.1 星光矢量在惯性系与平台系中的表示

设理想的发射点坐标为地理纬度 B_0 、经度 λ_0 ,发射方位角为 A_0 ;理想的发射惯性坐标系为 $OX_1Y_1Z_1$,简称I系;实际发射点的坐标与导弹射向分别存在误差 ΔB_0 , $\Delta \lambda_0$ 及 ΔA_0 . 导弹发射时是在实际发射点对准与调平的,由此建立平台坐标系 $OX_PY_PZ_P$,简称P系,它与 $OX_1Y_1Z_1$ 之间的关系可以用绕3个轴的失准角 α_x , α_y , α_z 来描述. 在一阶近似下,平台坐标系到发射惯性系的方向余弦矩阵为

$$C_P^I = \begin{bmatrix} 1 & -\alpha_z & \alpha_y \\ \alpha_z & 1 & -\alpha_x \\ -\alpha_y & \alpha_x & 1 \end{bmatrix}. \tag{1}$$

若记 $\boldsymbol{\alpha} = [\alpha_x \ \alpha_y \ \alpha_s]^T$, $\boldsymbol{\Delta} = [\Delta A_0 \ \Delta B_0 \ \Delta \lambda_0]^T$, 则 $\boldsymbol{\alpha}$ 完全由 $\boldsymbol{\Delta}$ 引起, 在一阶近似下存在如下关系^[10]

$$\Delta = D\alpha \tag{2}$$

其中,
$$\mathbf{D} = \begin{bmatrix} \cos A_0 \tan B_0 & -1 & -\sin A_0 \tan B_0 \\ -\sin A_0 & 0 & -\cos A_0 \\ \cos A_0 \sec B_0 & 0 & -\sin A_0 \sec B_0 \end{bmatrix}$$
.

如图 1 所示,设导航星在发射惯性坐标系中的高低角和方位角分别为 e_s , σ_s ,其中 e_s 向上为正, σ_s 顺时针方向为正.星光方向单位矢量S在理想发射惯性系中的表示为

$$\mathbf{S}_{I} = \begin{bmatrix} \cos e_{s} \cos \sigma_{s} & \sin e_{s} & \cos e_{s} \sin \sigma_{s} \end{bmatrix}^{\mathrm{T}}.$$
 (3)

设星敏感器体坐标系为 $OX_sY_sZ_s$, 其中 OX_s 轴为光轴,光轴与星光矢量的夹角很小, 其方向余弦近似为1. 若星敏感器的输出为 ξ , η , 则星光矢量在 $OX_sY_sZ_s$ 中可表示为

$$\mathbf{S}_{S} = \begin{bmatrix} 1, -\xi, -\eta \end{bmatrix}^{\mathrm{T}}.$$
 (4)

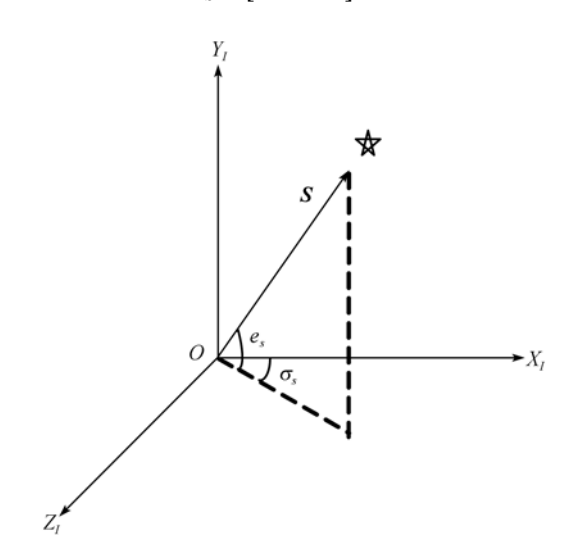


图 1 星光在惯性系中的表示

星敏感器体系与平台坐标系的关系如图2所示. 设平台坐标系先绕y轴旋转 σ_s , 再绕z轴旋转 e_s 后与星敏感器体系重合,则它们之间的方向余弦阵为

$$C_P^S = M_3(e_s)M_2(-\sigma_s)$$

$$= \begin{bmatrix} \cos e_s \cos \sigma_s & \sin e_s & \cos e_s \sin \sigma_s \\ -\sin e_s \cos \sigma_s & \cos e_s & -\sin e_s \sin \sigma_s \end{bmatrix}, (5)$$

$$= \sin \sigma \qquad 0 \qquad \cos \sigma$$

由此即可得到星光矢量在平台坐标系中的值为

$$\boldsymbol{S}_{P} = \boldsymbol{C}_{S}^{P} \boldsymbol{S}_{S}. \tag{6}$$

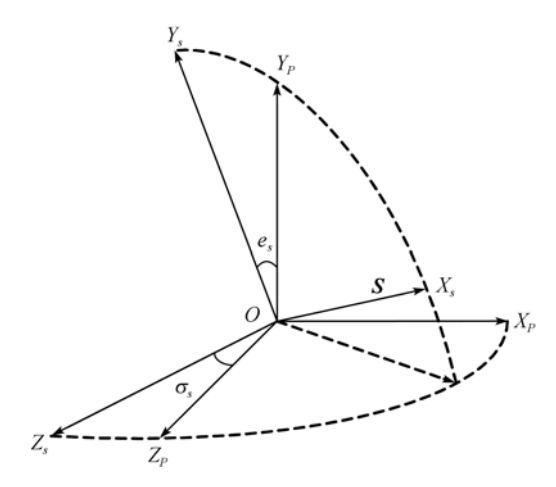


图 2 星敏感器坐标系与平台系的关系

1.2 星光修正的数学模型

根据坐标系之间的转换关系, 可得

$$S_S = C_P^S \cdot C_I^P \cdot S_I, \tag{7}$$

将各矩阵、向量的表达式代入可得

$$\begin{bmatrix} \boldsymbol{\xi} \\ \boldsymbol{\eta} \end{bmatrix} = \begin{bmatrix} -\sin \sigma_s & 0 & \cos \sigma_s \\ \sin e_s \cos \sigma_s & -\cos e_s & \sin e_s \sin \sigma_s \end{bmatrix} \begin{bmatrix} \alpha_x \\ \alpha_y \\ \alpha_z \end{bmatrix}$$
$$\triangleq \begin{bmatrix} \boldsymbol{h}_1^T \\ \boldsymbol{h}_2^T \end{bmatrix} \boldsymbol{\alpha} \triangleq \boldsymbol{H} \boldsymbol{\alpha}. \tag{8}$$

记导弹落点的纵向偏差为 ΔL ,横向偏差为 ΔH ,根据误差传递关系,落点偏差与初始定位定向误差的关系可写成如下偏导数的形式

$$\begin{bmatrix} \Delta L \\ \Delta H \end{bmatrix} = \begin{bmatrix} \partial L / \partial A_0 & \partial L / \partial B_0 & \partial L / \partial \lambda_0 \\ \partial H / \partial A_0 & \partial H / \partial B_0 & \partial H / \partial \lambda_0 \end{bmatrix} \begin{vmatrix} \Delta A_0 \\ \Delta B_0 \\ \Delta \lambda_0 \end{vmatrix}. \tag{9}$$

将(2)式代入(9)式可得

$$\begin{bmatrix} \Delta L \\ \Delta H \end{bmatrix} = \begin{bmatrix} \frac{\partial L}{\partial \alpha_x} & \frac{\partial L}{\partial \alpha_y} & \frac{\partial L}{\partial \alpha_z} \\ \frac{\partial H}{\partial \alpha_x} & \frac{\partial H}{\partial \alpha_y} & \frac{\partial H}{\partial \alpha_z} \end{bmatrix} \begin{bmatrix} \alpha_x \\ \alpha_y \\ \alpha_z \end{bmatrix}$$

$$\triangleq \begin{bmatrix} \mathbf{n}_1^T \\ \mathbf{n}_2^T \end{bmatrix} \boldsymbol{\alpha} \triangleq N\boldsymbol{\alpha}. \tag{10}$$

星光修正的模型为

$$\begin{bmatrix} \Delta L_s \\ \Delta H_s \end{bmatrix} = \begin{bmatrix} \mathbf{k}_1^{\mathrm{T}} \\ \mathbf{k}_2^{\mathrm{T}} \end{bmatrix} \begin{bmatrix} \boldsymbol{\xi} \\ \boldsymbol{\eta} \end{bmatrix} \triangleq \mathbf{K} \boldsymbol{w}, \tag{11}$$

修正后的落点偏差为

$$\begin{bmatrix} \delta L \\ \delta H \end{bmatrix} = \begin{bmatrix} \Delta L - \Delta L_s \\ \Delta H - \Delta H_s \end{bmatrix} = \begin{bmatrix} \mathbf{n}_1^{\mathrm{T}} \boldsymbol{\alpha} - \mathbf{k}_1^{\mathrm{T}} \mathbf{w} \\ \mathbf{n}_2^{\mathrm{T}} \boldsymbol{\alpha} - \mathbf{k}_2^{\mathrm{T}} \mathbf{w} \end{bmatrix}, \tag{12}$$

记
$$\boldsymbol{D} = \begin{bmatrix} D_{ll} & D_{lh} \\ D_{hl} & D_{hh} \end{bmatrix} = E \left\{ \begin{bmatrix} \delta L & \delta H \end{bmatrix} \begin{bmatrix} \delta L \\ \delta H \end{bmatrix} \right\}, \boldsymbol{D}$$
的特征根

为λ₁, λ₂, 则导弹落点的圆概率偏差为¹¹

$$CEP = 0.59 \left(\sqrt{\lambda_1} + \sqrt{\lambda_2} \right), \tag{13}$$

(8)式中恒星方位的选择应使得(13)式落点CEP最小.

2 最佳测星方位研究

为确定单星复合制导方案的最佳测星方位,本 文提出信息等量压缩的概念,在此先以几个命题的 形式阐明信息等量压缩的基本涵义.

2.1 信息等量压缩

集合是具有某种属性的全体的数学描述,其中的个体代表了此种属性的某个方面,因此从信息的角度讲,个体就是集合的属性信息的载体.集合之间通过映射使其个体产生对应与联系,因此映射也可以看作集合之间的属性信息的变换与传递过程.根据集合与映射的性质,不难得到如下命题.

命题1 若映射f是集合A至集合B上的双映射,则f是信息等量映射,此时通过对集合B中元素的测量可以唯一确定集合A中的对应元素;若映射f仅为单映射,则 f是信息压缩映射,此时对B中元素的测量不能唯一确定A中的对应元素.

若取命题 1 中的集合 A 与集合 B 都是 n 维欧氏空间 \mathbf{R}^n 的子空间,映射 f 取为线性映射,则 f 可以用 $n \times n$ 的矩阵表示.设f 为满射,则对 $\forall \mathbf{x} \in A$, $\exists \mathbf{y} \in B$,使得下式成立

$$\mathbf{y} = \mathbf{M}' \mathbf{x} = \begin{bmatrix} \mathbf{m}_1 & \mathbf{m}_2 & \dots & \mathbf{m}_n \end{bmatrix}^{\mathrm{T}} \mathbf{x}. \tag{14}$$

若 M' 是满秩的,则x与y——对应,集合A与集合B的信息量相等,M' 为信息等量映射;否则,x至y的映射即存在信息压缩,由对集合B中元素的观测无法唯一地确定出集合A中的对应元素,这表现在方程(14)有无数多组解.

设 rank(M') = r, 不失一般性, 不妨设 m_1 , m_2 ,...,

 m_r 是线性无关的,记 $M = [m_1 m_2...m_r]^T$,从信息传递的角度讲,M'x与Mx传递的信息量是相同的,因此从测量上来看,(14)式等价于

$$y_M = Mx, (15)$$

(15)式有无数多组解,但存在某个特殊的解 x_0 ,它属于M的各行向量张成的子空间 $M_s = \text{span}\{m_1 m_2 ... m_r\}$,记 $x_0 = x_1^0 m_1 + x_2^0 m_2 + ... + x_r^0 m_r = M^T \cdot X$,则 $y_M = (MM^T)X$, MM^T 可逆,由此可得

$$\mathbf{x}_0 = \mathbf{M}^{\mathrm{T}} \left(\mathbf{M} \mathbf{M}^{\mathrm{T}} \right)^{-1} \mathbf{y}_M. \tag{16}$$

可见, x_0 与 y_M 是一一对应的. 若将2个列向量的内积定义为 $\langle a \cdot b \rangle = a^{\mathrm{T}} \cdot b$,则(15)式可以写为 $y_M = [\langle m_1 \cdot x \rangle \langle m_2 \cdot x \rangle ... \langle m_r \cdot x \rangle]^{\mathrm{T}}$,而 $\langle m_i \cdot x \rangle$ 反映的是x在 m_i 上的投影, m_1 , m_2 ,..., m_r 是线性无关的,因此 $y_M = Mx$ 反映的是x在空间 M_s 上的投影 x_s ,而x在 M_s 的正交补 M_s^{\perp} 上的投影信息 x_s^{\perp} 损失掉了。由于 M_s 是 Hilbert 空间 \mathbf{R}^n 的完备子空间,因此有

$$\mathbf{R}^n = \mathbf{M}_s + \mathbf{M}_s^{\perp}. \tag{17}$$

根据投影定理, 可知

$$x = x_s + x_s^{\perp}, \tag{18}$$

因此,若(15)式代表观测方程, M是不满秩的,则通过观测量仅能获得M的各行向量张成的子空间上的信息 x_s ,该子空间正交补上的信息 x_s^{\perp} 无法获取.由此可得如下命题.

命题2 若 $n \times n$ 维的矩阵 M 是满秩的,则它代表的线性映射是信息等量映射;否则 M代表的是信息压缩映射,压缩的是 M的行向量张成的子空间的正交补上的信息.

在命题2中,设 M_s 的另一组基为 $\{t_1 \ t_2 \dots t_r\}$,记 $T = [t_1 \ t_2 \dots t_r]^T$, $y_T = Tx$,则 y_T 也反映了x 在 M_s 上投影的全部信息, x_0 也可以表示为 $x_0 = T^T (TT^T)^{-1} y_T$,而 $y_M = Mx_0 = M \cdot T^T (TT^T)^{-1} y_T$,因此从信息压缩的角度看,M与 T 是信息等量压缩映射,也即通过对经 T 压缩后的量 y_T 的观测可以唯一的确定经 M 压缩后的量 y_M .

对于M。中的任意向量V,不难得到

$$V = M^{\mathrm{T}} \left(M M^{\mathrm{T}} \right)^{-1} M V, \tag{19}$$

上式说明 $E_M = M^{\mathrm{T}} (MM^{\mathrm{T}})^{-1} M$ 相当于 M_s 空间中的单位矩阵E. 实际上,若M为n阶可逆矩阵,则 $E_M = M^{\mathrm{T}} (MM^{\mathrm{T}})^{-1} M = M^{\mathrm{T}} (M^{\mathrm{T}})^{-1} \cdot M^{-1} M = E$.

由(19)式同样可知, V是对应于 E_M 的特征值 1 的特征向量. 对于 M_s 中的任意一组基 $P = \{p_1 \ p_2 ... p_r\}$ 中的任意向量 p_i ,都有(19)式成立;而对于 M_s^{\perp} 中的任意一组基 $P^{\perp} = \{p_1^{\perp} \ p_2^{\perp} \ ... \ p_{n-r}^{\perp}\}$,都有 $E_M p_i^{\perp} = M^{\mathrm{T}} \left(MM^{\mathrm{T}}\right)^{-1} Mp_i^{\perp} = 0 \cdot p_i^{\perp}$ 成立,因此 1 是 E_M 的 r 重特征值,0 是 E_M 的 n-r 重特征值,其特征矩阵为 $P_e = [p_1 ... p_r | p_1^{\perp} ... p_{n-r}^{\perp}]$. 因为 M 与 T 是 M_s 空间的 2 组基,不难得到

$$\boldsymbol{T}^{\mathrm{T}} = \boldsymbol{M}^{\mathrm{T}} \left(\boldsymbol{M} \boldsymbol{M}^{\mathrm{T}} \right)^{-1} \boldsymbol{M} \cdot \boldsymbol{T}^{\mathrm{T}}, \tag{20}$$

将上式作等价变换, 可得

$$(\boldsymbol{E}_M - \boldsymbol{E})\boldsymbol{T}^{\mathrm{T}} = 0. \tag{21}$$

由于 rank($E_M - E$)=n - r, 因此齐次方程(21)有 r 个线性 无关的解向量,记为 r_i =[0...1...0 $r_{r+1}^{(i)}$... $r_n^{(i)}$], i=1,2,...r, $R = \begin{bmatrix} \mathbf{r}_1^{\mathsf{T}} & \mathbf{r}_2^{\mathsf{T}} & \dots & \mathbf{r}_r^{\mathsf{T}} \end{bmatrix}^{\mathsf{T}}$,并记 T 的前 r 列为 T_r ,则有

$$T = T_r \cdot R, \tag{22}$$

(22)式共有 $r \times (n-r)$ 个独立的方程. 若要使所有的方程都成立,则 T 至少要有 $r \times (n-r)$ 个独立的变量. 例如,当 n=3,r=2时,只需要有 2 个独立的变量即可使得(22)式成立,也即通过对单个矢量的观测(有 e_s , σ_s 两个独立变量)可以完全修正掉3个误差因素的影响.

通过上面的分析, 可以得到如下命题.

命题3 若矩阵 M_1 , M_2 对应的线性变换是线性空间 \mathbb{R}^n 中的信息等量压缩映射,则在它们的像子空间上存在一个信息等量映射 M,使得 2 个像子空间的元素可以互相确定.

将命题 3 的结论推广至一般的空间, 就可以得到如下命题.

命题4 若映射 f_1, f_2 是集合 A 上的信息等量压缩

映射,则在它们的像集 $f_1(A)$, $f_2(A)$ 上存在一个信息等量映射 f, 使得两像集中的元素可以互相确定.

命题4说明,在设计观测器时,只需要设计与控制系统是信息等量压缩的观测器就能满足要求,而不必设计全维的观测器,这能降低观测器的复杂程度.

2.2 只考虑初始定位定向误差的最佳测星方位确定

通过上节的分析可知,当只考虑初始定位定向误差的影响时,由(10)式可见,最终影响落点偏差的只是失准角 α 在 n_1 , n_2 张成的子空间 N_s = span $\{n_1$ $n_2\}$ 上的投影 a_s ,因此根据(8)式,只需选择 h_1 , h_2 ,使得 H 与 N代表的线性映射是信息等量压缩映射即可,这样观测信息 w 中就包含了所有的有用信息. H矩阵中有 2个变量 e_s , σ_s 可以选择,根据(22)式可知,通过对 w 的测量能够修正初始定位定向误差的全部影响,也即单星方案能够与双星方案达到同样的精度. 由(8)式可知

$$\boldsymbol{\alpha}_{s} = \boldsymbol{H}^{\mathrm{T}} \left(\boldsymbol{H} \boldsymbol{H}^{\mathrm{T}} \right)^{-1} \boldsymbol{w}, \tag{23}$$

因此,(11)式的星光修正模型为

$$\begin{bmatrix} \Delta L_s \\ \Delta H_s \end{bmatrix} = N \boldsymbol{H}^{\mathrm{T}} \left(\boldsymbol{H} \boldsymbol{H}^{\mathrm{T}} \right)^{-1} \boldsymbol{w}. \tag{24}$$

最佳测星方位 e_{sopt} , σ_{sopt} 的求取既可以通过求解方程(22)获得, 也可以根据 N_s^{\perp} 与 H_s^{\perp} 相同获得, 即

$$\boldsymbol{h}_1 \times \boldsymbol{h}_2 = \frac{\boldsymbol{n}_1 \times \boldsymbol{n}_2}{|\boldsymbol{n}_1 \times \boldsymbol{n}_2|}.$$
 (25)

2.3 考虑多种误差因素影响时的最佳测星方位确定

当考虑多种误差因素的影响时,失准角 α 与误差向量 Δ 存在如下关系

$$\alpha = P \cdot \Delta. \tag{26}$$

定最佳测星方位. 考虑多种误差因素时, 无论双星方案还是单星方案都存在上述问题, 双星方案虽然能够完全确定失准角的信息, 但最终用到的也只是单星方案测量到的信息, 因此两者具有相同的精度.

3 导航星偏离最佳星方位时的误差分析

通过上节的方法可以确定出最佳的测星方位,设此时的观测矩阵为 $H=[h_1\ h_2]^T$,但实际上在最佳方位不一定有满足要求的恒星存在,只能选择最靠近此方位的某颗恒星,因此设实际的观测矩阵为 $H'=[h',h'_2]^T$. 导弹的实际落点偏差可以表示为

$$\begin{bmatrix} \Delta L \\ \Delta H \end{bmatrix} = NH^{T} (HH^{T})^{-1} \begin{bmatrix} \xi \\ \eta \end{bmatrix} = NH^{T} (HH^{T})^{-1} H\alpha, (27)$$

通过对星光的观测修正掉的偏差为

$$\begin{bmatrix} \Delta L_{s} \\ \Delta H_{s} \end{bmatrix} = N \boldsymbol{H}^{\mathrm{T}} (\boldsymbol{H} \boldsymbol{H}^{\mathrm{T}})^{-1} \begin{bmatrix} \boldsymbol{\xi}' \\ \boldsymbol{\eta}' \end{bmatrix} = N \boldsymbol{H}^{\mathrm{T}} (\boldsymbol{H} \boldsymbol{H}^{\mathrm{T}})^{-1} \boldsymbol{H}' \boldsymbol{\alpha}, \quad (28)$$

因此, 导弹最终的落点偏差为

$$\begin{bmatrix} \delta L \\ \delta H \end{bmatrix} = \begin{bmatrix} \Delta L - \Delta L_s \\ \Delta H - \Delta H_s \end{bmatrix} = NH^{T} (HH^{T})^{-1} (H - H') \alpha, (29)$$

再根据(13)式,即可以确定由此引起的圆概率偏差 CEP.

根据上节的分析可知,导航星偏离最佳方位时,落点偏差的增大是由于失准角 α 在 H'_s = span $\{h'_1 h'_2\}$ 的正交补空间 H'^{\perp}_s 上的有用信息 α_s^{\perp} 无法测到引起的, α_s^{\perp} 的损失使得测量值w' 偏离真实值w. 当导航星的方位一定时, α_s^{\perp} 的分布是可以确定的,因此可以通过增加一个修正系数矩阵 $C = \begin{bmatrix} c_{11} & c_{12} \\ c_{21} & c_{22} \end{bmatrix}$ 来修正测量值,C中元素的选择是使得修正后的落点CEP最小.此时,星光修正的方程变为

$$\begin{bmatrix} \Delta L_s \\ \Delta H_s \end{bmatrix} = N \mathbf{H}^{\mathrm{T}} \left(\mathbf{H} \mathbf{H}^{\mathrm{T}} \right)^{-1} C \mathbf{w}'. \tag{30}$$

4 结论

本文主要基于信息等量压缩的概念,研究了单 星星光-惯性复合制导方案的实现原理,阐明了单星 方案能够与双星方案达到同样精度的原因.研究的 过程中,作了适当的假设,但得到的结论可以方便推广到实际制导系统的设计之中. 只是当考虑多种误差因素的影响时,如何恰当地将导弹的落点偏差表

示为关机点的平台失调角的函数;以及需要斜调平台对准导航星时,如何快速地计算环境函数矩阵是实际使用前需要解决的问题.

参考文献

- 1 陈世年, 李连仲. 控制系统设计. 北京: 宇航出版社, 1996. 233-292
- 2 Wahba G. A least squares estimate of spacecraft attitude. SIAM Rev, 1965, 7(3): 409—415[DOI]
- 3 Bar-Itzhack I Y, Harman R R. Optimized TRIAD algorithm for attitude determination. J Guidance, Control Dyn, 1997, 20(1): 208—211[DOI]
- 4 Schmidtbauer B. High-accuracy sounding rocket attitude estimation using star sensor data. IEEE Trans Aerospace Electron Syst, 1978, 14(5): 891—897[DOI]
- 5 Crassidis J L, Markley F L. Minimum model error approach for attitude estimation. J Guidance, Control Dyn, 1997, 20(6): 1241—1247[DOI]
- 6 Idan M. Estimation of rodrigues parameters from vector observations. IEEE Trans Aerospace Electron Syst, 1996, 32(2): 578—585[DOI]
- 7 陈雪芹, 耿云海. 一种利用星敏感器对陀螺进行在轨标定的算法. 系统工程与电子技术, 2005, 27(12): 2112—2116
- 8 张红梅, 邓正隆, 林玉荣. 一种基于模型误差预测的UKF方法. 航空学报, 2004, 25(6): 598—601
- 9 Fan Z W. Current state of the development of star light inertial guidance technology and performance analysis. ADA310487, 1996, 5
- 10 肖称贵. 捷联星光制导方案与误差研究. 导弹与航天运载技术, 1997, (4): 1-8
- 11 金振山, 申功勋. 适合于机动弹道导弹的星光-惯性组合制导系统研究. 航空学报, 2005, 26(2): 168-172
- 12 吴翊, 屈田兴. 应用泛函分析. 长沙: 国防科技大学出版社, 2002